

ИЗВЕСТИЯ  
ТОМСКОГО ОРДЕНА ТРУДОВОГО КРАСНОГО ЗНАМЕНИ  
ПОЛИТЕХНИЧЕСКОГО ИНСТИТУТА имени С. М. КИРОВА

Том 117

1963

УСТАНОВКА ДЛЯ СНЯТИЯ ДИНАМИЧЕСКИХ МЕХАНИЧЕСКИХ  
ХАРАКТЕРИСТИК АСИНХРОННОГО ДВИГАТЕЛЯ

А. И. ЗАЙЦЕВ, М. П. ТАБИНСКИЙ, А. С. БОБРОВСКИЙ

В работах Е. А. Казовского [1], В. А. Глебова [2], Л. П. Петрова [3, 4] и других авторов показано, что для точного расчета электромеханических переходных процессов асинхронных двигателей необходимо пользоваться динамическими механическими характеристиками. Эти характеристики в технической справочной литературе отсутствуют, поэтому приходится определять их для каждого отдельного случая экспериментальным путем. Ниже дается описание простой установки для снятия динамических механических характеристик двигателя.

Блок-схема установки изображена на рис. 1. Исследуемый двигатель  $AD$  соединяется с асинхронным тахогенератором  $TG$ . В качестве тахогенератора используется двухфазный двигатель с полым немагнитным ротором (двигатель Феррариса) типа ЭМ-8. На первичную

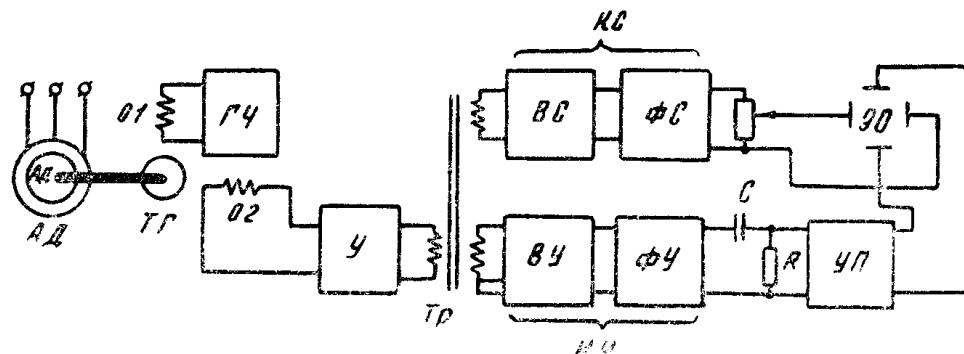


Рис. 1.

обмотку тахогенератора  $01$  подается синусоидальное напряжение при частоте  $1000 \div 1500$  гц, напряжением около 5 в. Во вторичной обмотке  $02$  наводится переменная э. д. с., по величине пропорциональная скорости вращения двигателя, частота которой равна частоте приложенного к первичной обмотке напряжения, а фаза зависит от скорости и направления вращения ротора тахогенератора. При помощи электронного усилителя  $U$  эта э. д. с. усиливается по напряжению и по

мощности. С выходного трансформатора Тр усиленное напряжение поступает в канал скорости  $KС$  и канал ускорения  $KU$ , где оно выпрямляется при помощи диодных мостов  $BC$  и  $BU$  и сглаживается фильтрами низкой частоты  $\PhiС$  и  $\PhiU$ . Выпрямленное напряжение в канале скорости снимается с потенциометра и подается на горизонтально отклоняющие пластины электронно-лучевого осциллографа ЭО. Выпрямленное в канале ускорения напряжение поступает на дифференцирующую цепочку  $R - C$ . На сопротивлении  $R$  выделяется напряжение, пропорциональное ускорению двигателя, которое усиливается усилителем постоянного тока УП и подается на вертикально отклоняющие пластины электронно-лучевого осциллографа.

При пуске или торможении испытуемого двигателя  $AD$  на экране осциллографа электронный луч описывает кривую, изображающую зависимость скорости от ускорения двигателя  $\omega = f\left(\frac{d\omega}{dt}\right)$ .

На основании теоремы Д'Аламбера, угловое ускорение при вращении тела равно сумме моментов двигающих сил относительно оси вращения, разделенной на момент инерции относительно той же оси

$$\frac{d\omega}{dt} = \frac{M_{дв} - M_{ст}}{J_{дв}}, \quad (1)$$

где  $J_{дв}$  — момент инерции двигателя,  $кГм\cdotсек^2$ ;

$M_{дв}$  — момент двигателя,  $кГм$ ;

$M_{ст}$  — момент статического сопротивления,  $кГм$ ;

$\frac{d\omega}{dt}$  — угловое ускорение,  $\frac{1}{сек^2}$ .

При пуске или торможении двигателя без нагрузки моментом статического сопротивления можем пренебречь. В этом случае, исходя из формулы (1), момент двигателя равен

$$M_{дв} \approx J_{дв} \frac{d\omega}{dt}. \quad (2)$$

Таким образом, момент двигателя пропорционален угловому ускорению, причем  $J_{дв}$  является коэффициентом пропорциональности. Следовательно, от графического изображения зависимости  $\omega = f\left(\frac{d\omega}{dt}\right)$

легко перейти к зависимости  $\omega = \varphi(M_{дв})$ , то есть к механической характеристике двигателя, для чего необходимо масштаб ускорения  $\frac{d\omega}{dt}$  умножить на постоянную величину момента инерции  $J_{дв}$ .

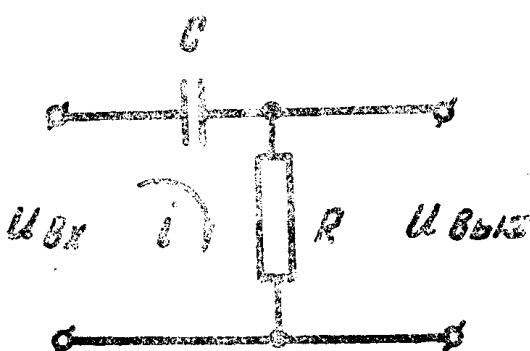


Рис. 2.

сумме падения напряжения на  $R$  и  $C$

$$U_{вх} = U_c + U_{вых}. \quad (3)$$

Продифференцируя равенство (3), получим

$$\frac{dU_{\text{вх}}}{dt} = \frac{dU_c}{dt} + \frac{dU_{\text{вых}}}{dt}. \quad (4)$$

Падение напряжения на сопротивлении  $R$  равно

$$U_{\text{вых}} = iR = RC \frac{dU_c}{dt}. \quad (5)$$

Отсюда

$$\frac{dU_c}{dt} = \frac{U_{\text{вых}}}{RC}. \quad (6)$$

Подставив (6) в формулу (4), получим

$$\frac{dU_{\text{вх}}}{dt} = \frac{U_{\text{вых}}}{RC} + \frac{dU_{\text{вых}}}{dt},$$

или

$$RC \frac{dU_{\text{вых}}}{dt} + U_{\text{вых}} = RC \frac{dU_{\text{вх}}}{dt}. \quad (7)$$

Когда входное напряжение  $U_{\text{вх}}$  изменяется по линейному закону во времени, то есть

$$U_{\text{вх}} = \frac{dU_{\text{вх}}}{dt} \cdot t,$$

то точное решение уравнения (7) имеет вид

$$U_{\text{вых}} = RC \frac{dU_{\text{вх}}}{dt} \left(1 - e^{-\frac{t}{RC}}\right). \quad (8)$$

Из этого выражения видно, что теоретически выходное напряжение достигает установившегося значения

$$U_{\text{вых}} = RC \frac{dU_{\text{вх}}}{dt}$$

через бесконечно большое время. Но если допустить небольшую погрешность при определении  $U_{\text{вых}}$ , например в 2%, то практически выходное напряжение достигает установившегося значения уже по истечении времени, равного

$$t = 4RC.$$

Из анализа осциллограмм электромеханических переходных процессов установлено, что в течение времени  $t = 0,002$  сек скорость двигателя можно считать изменяющейся по линейному закону [2], [3]. Поэтому постоянная времени дифференцирующей цепочки должна быть не больше

$$RC \leq \frac{t}{4} = \frac{0,002}{4} = 0,0005 \text{ сек.}$$

При емкости  $C = 0,5 \text{ мкФ}$  выходное сопротивление должно быть равно

$$R = \frac{0,0005}{0,5} \cdot 10^6 = 1000 \text{ ом.}$$

Для определения абсолютного значения ускорения по отклонению

луча на экране осциллографа необходимо знать масштаб ускорения. Его можно определить несколькими способами.

1 способ. На вход дифференцирующей цепочки подается синусоидальное напряжение с известной амплитудой и частотой

$$U_{\text{вх}} = U_m \sin(\omega t + \varphi).$$

На выходе дифференцирующей цепочки напряжение пропорционально производной по входному сигналу (с некоторой ошибкой, присущей дифференцирующей цепочке)

$$U_{\text{вых}} = RC \frac{dU_{\text{вх}}}{dt} = RC \cdot U_m \cdot \omega \cdot \cos(\omega t + \varphi).$$

Максимальное отклонение луча осциллографа пропорционально максимальному значению производной

$$\left( \frac{dU_{\text{вх}}}{dt} \right)_{\text{макс}} = U_m \cdot \omega.$$

Обозначим это отклонение буквой  $x$ .

Масштаб находится из отношения

$$\frac{\mu_{dU}}{dt} = \frac{U_m \cdot \omega}{x}, \quad \frac{\text{в}}{\text{сек} \cdot \text{мм}}. \quad (9)$$

При снятии механической характеристики входное напряжение меняется пропорционально скорости двигателя

$$U_{\text{вх}} = k \cdot n_{\text{дв}},$$

где  $k = \frac{U_0}{n_0}$  — скоростной коэффициент тахогенератора и усилителя,

равный отношению напряжения на выходе фильтра при скорости холостого хода к этой скорости.

Следовательно, масштаб ускорения равен

$$\frac{\mu_{dn}}{dt} = \frac{\mu_{dU}}{dt} \cdot k = \frac{U_m \cdot \omega \cdot n_0}{x \cdot U_0}, \quad \frac{\text{об}}{\text{мин} \cdot \text{сек} \cdot \text{мм}}. \quad (10)$$

2 способ. На вал тахогенератора ТГ (рис. 3) насаживается небольшой шкив с радиусом  $R$ , на который наматывается несколько витков шнура. К шнту прикрепляют груз  $G$ , которому дают свободно опускаться. Трением в подшипниках тахогенератора ввиду малости можно пренебречь.

По теореме Д'Аламбера действующие силы на материальную систему и силы инерции равны

$$R \left( G - \frac{G}{g} \cdot a \right) = J \frac{d\omega}{dt}, \quad (11)$$

где  $J$  — момент инерции ротора тахогенератора и шкива,  $\text{кГм сек}^2$ :

$a$  — ускорение поступательно движущегося груза  $G$ ,  $\frac{\text{м}}{\text{сек}^2}$ .

$g = 9,81 \frac{\text{м}}{\text{сек}^2}$  — ускорение свободного падения.

Используем связь между угловым и линейным ускорением

$$a = R \frac{d\omega}{dt}. \quad (12)$$

Подставив 12 в 11, после ряда преобразований получим

$$\frac{d\omega}{dt} = \frac{G}{\frac{J}{R} + \frac{RG}{g}} \quad (13)$$

или

$$\frac{dn}{dt} = \frac{30 G}{\pi \left( \frac{J}{R} + \frac{RG}{g} \right)}. \quad (14)$$

Измерив на экране осциллографа отклонение луча  $x$  в  $мм$ , соответствующее этому ускорению, находим масштаб ускорения

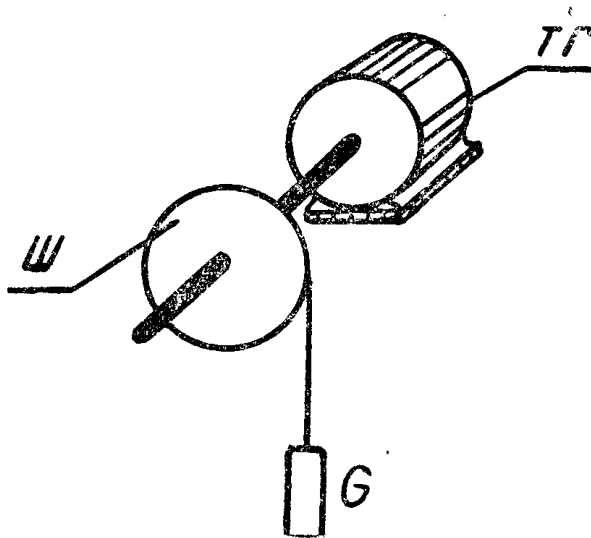


Рис. 3.

$$\frac{\mu_{dn}}{dt} = \frac{30 G}{\pi \left( \frac{J}{R} + \frac{RG}{g} \right) \cdot x}, \quad \frac{\text{об}}{\text{мин} \cdot \text{сек} \cdot \text{мм}}. \quad (15)$$

Момент двигателя, соответствующий отклонению  $x_i$  электронного луча по оси ускорений при снятии механической характеристики, находится по формуле

$$M_{дв} = \frac{J_{дв} \pi}{30} x_i \frac{\mu_{dn}}{dt}. \quad (16)$$

#### Выводы

Описанная установка позволяет снимать с достаточной точностью динамические механические характеристики асинхронного двигателя. В отличие от других установок [2], [3], [4] она проста в изготовлении и собирается из легко доступных материалов.

Механические характеристики наблюдаются непосредственно на экране осциллографа и легко могут быть сфотографированы обычным фотоаппаратом. Для облегчения визуального наблюдения рекомендуется применять в осциллографе электронно-лучевую трубку с послесвечением.

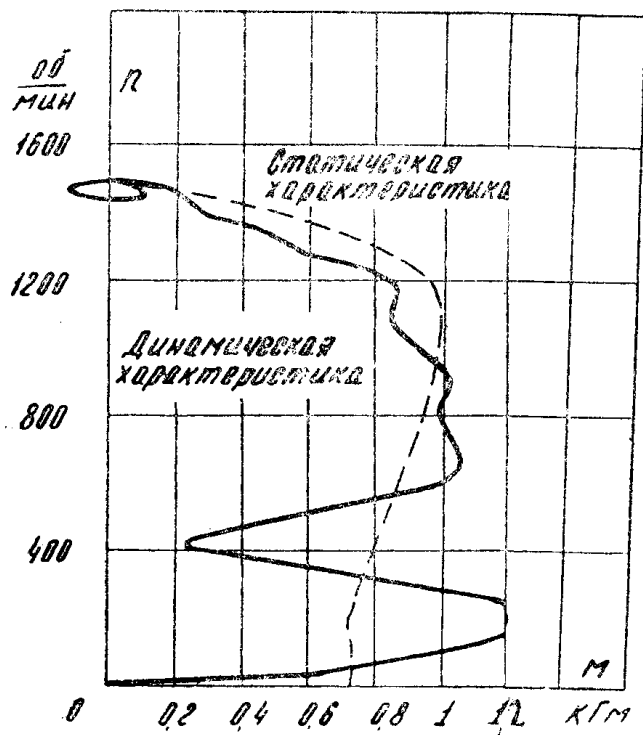


Рис. 4.

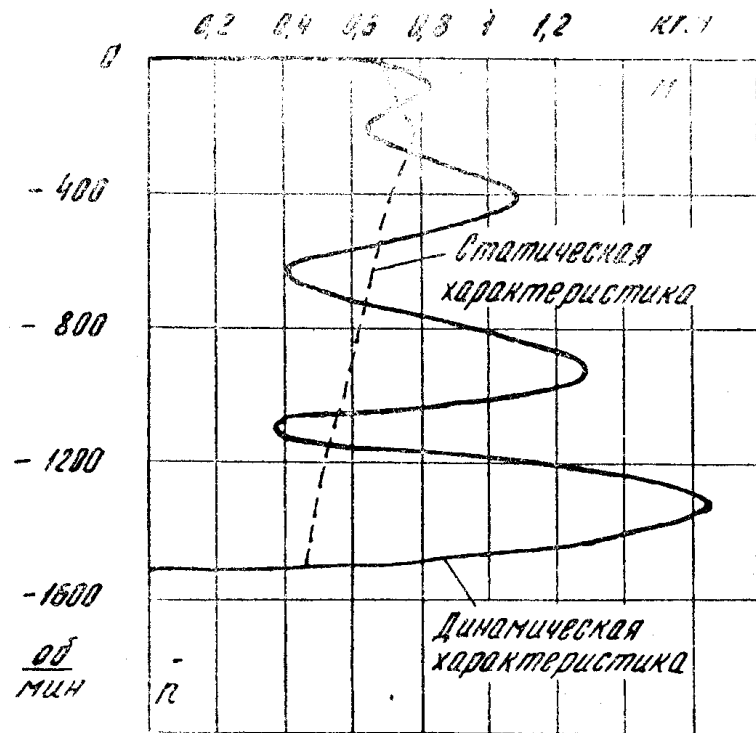


Рис. 5.

На рис. 4, 5 и 6 приводятся динамические механические характеристики двигателя А 31-4: для двигательного режима (рис. 4), режима противовключения (рис. 5) и динамического торможения (рис. 6). На рисунках для сравнения приводятся статические механические характеристики этого же двигателя, снятые на аналогичной установке, но с применением механического дифференциала, который необходим для распределения механических характеристик различных режимов по соответствующим квадрантам. Добавочный маховик увеличивает длительность механических переходных процессов двигателя, благодаря чему механическая характеристика приближается к статической.

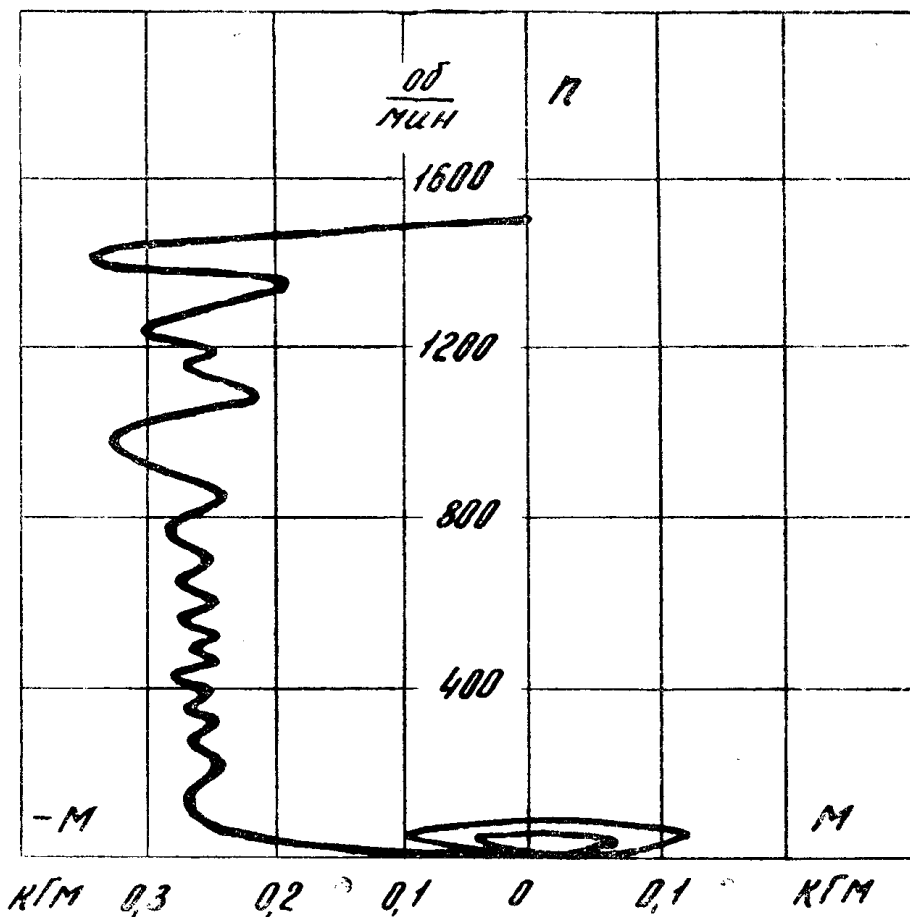


Рис. 6.

#### ЛИТЕРАТУРА

1. Е. Я. Казовский. Некоторые вопросы переходных процессов в машинах переменного тока. Госэнергоиздат, 1953.
2. В. А. Глебов. Экспериментальное исследование пусковых процессов асинхронных двигателей. Электричество, № 12, 1956.
3. Л. П. Петров. Динамические характеристики асинхронных короткозамкнутых двигателей. ВЭП, № 5, 1959.
4. Л. П. Петров. Новые методы экспериментального исследования механических характеристик асинхронных двигателей. Научные записки Одесского политехнического института, 1958, т. XVII.

Поступила в редакцию  
в июне 1962 г.